

CURSO DE COMPUTACIÓN CUÁNTICA 6.0

3-6 JUNIO
CÁCERES



Curso de Formación Continua en Computación Cuántica
Organizado por la Escuela Politécnica de Cáceres.
Universidad de Extremadura

Curso de Computación cuántica 6.0

Fundamentos y puertas de uno y dos qubits

Fernando Cuartero

Escuela Superior de Ingeniería Informática
Universidad de Castilla-La Mancha

Índice

1. Introducción
2. Miscelánea matemática
3. Información cuántica
4. Criptografía cuántica
5. Aspectos prácticos

1. Introducción

2. Miscelánea matemática

3. Información cuántica

4. Criptografía cuántica

5. Aspectos prácticos

Computación Cuántica. Un nuevo paradigma

- ✓ Se basa en el uso de qubits en lugar de bits
- ✓ Nuevas puertas lógicas que hacen posibles nuevos algoritmos y métodos de cómputo
- ✓ Se pueden resolver problemas hasta ahora sin solución
- ✓ Puede llegar allá donde la Ley de Moore ya no permite avanzar más

Computación Cuántica. Un nuevo paradigma

✓ Información Clásica

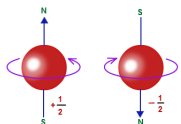
- ✗ Se reduce a 1's y 0's
- ✗ Se guardan en memorias magnéticas, ópticas ...
- ✗ Se transmiten por pulsos eléctricos, luz...

✓ Información Cuántica

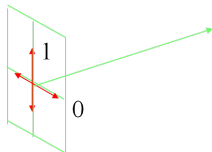
- ✗ No se reduce a 1's y 0's
- ✗ Se guarda y se transmite por estados cuánticos
- ✗ Entrelazamiento
- ✗ Aplicaciones: Encriptación, Paralelismo...
- ✗ Uso de algoritmos aleatorios

Computación Cuántica. Un nuevo paradigma

- ✓ ¿Cual es el espacio mínimo para almacenar información?
- ✓ Podemos usar el spin de un electrón



- ✓ Podemos usar la polarización de un fotón



Pero esto tiene efectos colaterales

Preliminares

✓ Historia

- X 1927 Principio de indeterminación de Heisenberg
- X 1935 Artículo Einstein-Podolsky-Rosen
- X 1964 Teorema de Bell
- X 1970 Teoría de las medidas cuánticas
- X 1961 Experimento de Alain Aspect en París
- X 1982 Richard Feynman: Simulating physics with computers
- X 1985 David Deutsch: Modelo de circuitos
- X 1998 Cirac y Zoller desarrollan el primer qbit, basado en trampa de iones
- X 2002 Se implementa la primera puerta CNot

Preliminares

✓ Historia

- ✗ El primero en considerar que la mecánica cuántica podía ser aplicable a resolver sistemas de cómputo es Richard Feynman
- ✗ Observa que el coste computacional de simular sistemas cuánticos crece de manera exponencial con el tamaño del sistema
- ✗ Si consideramos que un sistema está calculando su propia evolución, y puesto que lo hace en un tiempo mucho menor, entonces está resolviendo un problema exponencial en un tiempo limitado
- ✗ En 1985, David Deutsch introduce el modelo de circuitos de computación cuántica actualmente adoptado como estándar
- ✗ Deutsch también muestra que todo operador cuántico puede ser definido composicionalmente a partir de un reducido número de operadores universales

Preliminares

✓ Argumento fundamental

- ✗ Richard Feynman en *Simulating Physics with Computers*, International Journal of Theoretical Physics, 1982.
- ✗ La simulación de la estructura cuántica del átomo, calculando la distribución de energías de los diferentes orbitales, necesita un tiempo exponencial en el número de niveles y partículas.
- ✗ Sin embargo, un átomo lo hace directamente.
- ✗ Eso significa que el átomo, actuando como computador, puede resolver un problema de naturaleza exponencial en un corto espacio de tiempo.
- ✗ La cuestión es... ¿Puede esto generalizarse?

4. QUANTUM COMPUTERS—UNIVERSAL QUANTUM SIMULATORS

The first branch, one you might call a side-remark, is, **Can you do it with a new kind of computer—a quantum computer?** (I'll come back to the other branch in a moment.) Now it turns out, as far as I can tell, that you can simulate this with a quantum system, with quantum computer elements. It's not a Turing machine, but a machine of a different kind. If we disregard the continuity of space and make it discrete, and so on, as an approximation (the same way as we allowed ourselves in the classical case), it does seem to

Preliminares

✓ Idea de Feynman

- ✗ Con el modelo atómico de Bohr, y por medio de la ecuación de Schrödinger se puede calcular el nivel de energía de un átomo de Hidrógeno. Tiene un electrón, y se necesita resolver un hamiltoniano de una matriz de 2×2
- ✗ La molécula de agua es algo más difícil. El H_2O tiene 10 electrones, y el hamiltoniano es una matriz de $2^{10} \times 2^{10}$, más de un millón de componentes numéricas. Se puede resolver, pero toma un tiempo importante.
- ✗ La molécula de alcohol, CH_3CH_2OH tiene 26 electrones, por lo que el hamiltoniano es una matriz de $2^{26} \times 2^{26}$. El cálculo del nivel de energía. Esto son mil billones de componentes numéricas, y ya supone un esfuerzo muy importante de supercomputación, que puede tomar horas.
- ✗ Richard Feynman se plantea, una molécula de alcohol, que es algo muy pequeño, cuando arde, realiza ese cálculo en una fracción de segundo.
- ✗ Una molécula realiza cálculos enormes en un tiempo minúsculo...
¿Podemos aprovecharlo?

Teoría Cuántica

- ✓ *Cualquiera que no esté impactado con la teoría cuántica es que no la ha entendido.*

Niels Bohr

- ✓ *Pienso que se puede afirmar tranquilamente que nadie entiende la mecánica cuántica.*

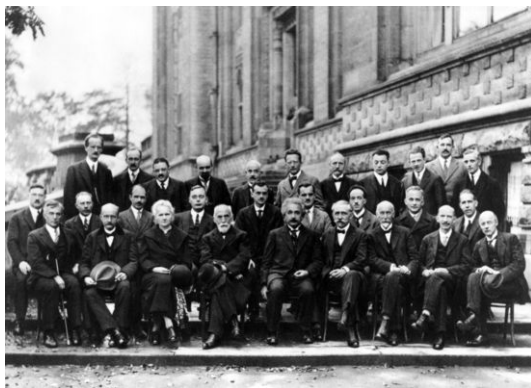
Richard Feynman

¿Qué es la Mecánica Cuántica?

- ✓ La Mecánica Cuántica es una teoría. Es el modelo estándar que describe el comportamiento de la materia y la energía a escalas pequeñas (fotones, átomos, núcleos, quarks, gluones, leptones ...)
- ✓ Una teoría consiste en un **formalismo** matemático, junto a una **interpretación** del mismo
- ✓ Sin embargo, al contrario que otras teorías, la Mecánica Cuántica difiere en que, mientras que su formalismo ha sido aceptado y usado durante 80 años, su interpretación permanece en continua controversia y debate

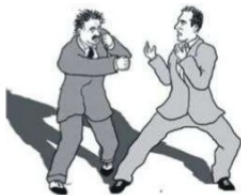
¿Qué es la Mecánica Cuántica?

- ✓ Interpretaciones
- ✓ El primer debate tuvo lugar durante la quinta Conferencia Solvay de 1927, en Bruselas



¿Qué es la Mecánica Cuántica?

- ✓ Interpretaciones
- ✓ ¿Cual es correcta?



Debates Bohr-Einstein

La mecánica cuántica: un modelo de ciencia no-determinista o una teoría probabilística incompleta

Paradoja. Experimento EPR

- ✓ Albert Einstein tenía un problema personal con la física cuántica. A pesar de haber contribuido a su gestación, no la aceptaba.
- ✓ En 1935, junto a dos estudiantes de doctorado suyos publica un experimento mental con el objetivo de refutar sus postulados.
- ✓ Sin embargo, los resultados no fueron los esperados...



A. Einstein



B. Podolsky



N. Rosen

EINSTEIN ATTACKS QUANTUM THEORY

Scientist and Two Colleagues
Find It Is Not 'Complete'
'Even Though 'Correct.'

Paradoja. Experimento EPR

- ✓ El debate Einstein-Bohr fue zanjado mediante el experimento EPR
- ✓ En 1964 John S. Bell presenta el teorema de las desigualdades, o teorema de Bell que dice:
“Ninguna teoría física de variables ocultas locales puede reproducir todas las predicciones de la mecánica cuántica”
- ✓ Puede ser comprobado experimentalmente. Fue llevado a cabo por Alain Aspect en 1981



1. Introducción

2. Misecelánea matemática

3. Información cuántica

4. Criptografía cuántica

5. Aspectos prácticos

Números complejos

- ✓ Los números complejos, designados con \mathbb{C} , son una extensión de los números reales. Un número complejo está formado por dos números reales, respectivamente denominados parte real y parte imaginaria
- ✓ Se construyen a partir de la unidad imaginaria, denominada con la letra i , que cumple la propiedad de que $i^2 = -1$
- ✓ Otra propiedad, que se sigue de la anterior, es que los números complejos incluyen todas las raíces de los polinomios con coeficientes reales
- ✓ Representación en forma polinómica: Habitualmente un número complejo se representa mediante la composición de la parte real y la imaginaria en la forma

$$c \in \mathbb{C} \rightarrow c = a + b \cdot i \quad a, b \in \mathbb{R}$$

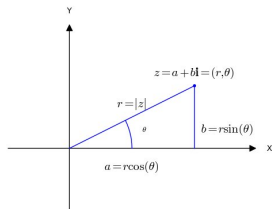
Números complejos

- ✓ **Forma Polar.** Dado un número complejo $z = a + b \cdot i$, podemos definir dos valores asociados, el módulo y el argumento, en la forma
- ✓ **Módulo**

$$|z| = \sqrt{a^2 + b^2}$$

- ✓ **Argumento**

$$\cos \theta = a/|z|$$



$$z = |z| \cdot (\cos \theta + i \cdot \sin \theta)$$

Números complejos

- ✓ **Fórmula de Moivre.** Si tenemos un número complejo de módulo 1 se satisface:

$$(\cos \theta + \sin \theta \cdot i)^n = \cos (n \cdot \theta) + \sin (n \cdot \theta) \cdot i$$

- ✓ **Forma exponencial**

$$z = |z| \cdot e^{\theta \cdot i}$$

- ✓ **Fórmula de Euler**

$$e^{\pi \cdot i} + 1 = 0$$

Números complejos

- ✓ La forma exponencial nos permite realizar muchas más operaciones sobre los números complejos, entre ellas el logaritmo o la exponencial
- ✓ Curiosidad

$$\begin{aligned}\log -1 &= ? \\ i^i &= ?\end{aligned}$$

Números complejos

- ✓ La forma exponencial nos permite realizar muchas más operaciones sobre los números complejos, entre ellas el logaritmo o la exponencial
- ✓ Curiosidad

$$\begin{aligned}\log -1 &= \log(e^{\pi \cdot i}) \\ &= \pi \cdot i\end{aligned}$$

$$\begin{aligned}\log i &= \log(e^{\pi/2 \cdot i}) \\ &= \pi/2 \cdot i\end{aligned}$$

Números complejos

- ✓ La forma exponencial nos permite realizar muchas más operaciones sobre los números complejos, entre ellas el logaritmo o la exponencial
- ✓ Curiosidad

$$\begin{aligned}i^i &= \left(e^{\frac{\pi}{2}i}\right)^i \\ &= e^{\frac{\pi}{2}i \cdot i} \\ &= e^{\frac{\pi}{2}i^2} \\ &= e^{-\frac{\pi}{2}}\end{aligned}$$

- ✓ Es decir, el valor i^i es un número real puro, sin componente imaginaria, y su valor aproximado es 0.02079

Álgebra lineal

Un **espacio vectorial** sobre el espacio de los números complejos está formado por vectores, que son tuplas de la forma (z_1, \dots, z_n) . En computación cuántica, usaremos la notación $|Q\rangle$ para representar el vector columna Q

$$|Q\rangle = \begin{bmatrix} z_1 \\ \vdots \\ z_n \end{bmatrix}$$

Álgebra lineal

En un espacio vectorial podemos definir operaciones de adición y producto por un número

$$\begin{bmatrix} z_1 \\ \vdots \\ z_n \end{bmatrix} + \begin{bmatrix} z'_1 \\ \vdots \\ z'_n \end{bmatrix} = \begin{bmatrix} z_1 + z'_1 \\ \vdots \\ z_n + z'_n \end{bmatrix}$$
$$z \begin{bmatrix} z_1 \\ \vdots \\ z_n \end{bmatrix} = \begin{bmatrix} z z_1 \\ \vdots \\ z z_n \end{bmatrix}$$

Álgebra lineal

Tabla resumen de notación

Notación	Contenidos
z^*	Complejo conjugado del número z . Parte imaginaria cambiada de signo. Ej. $(1 + i)^* = 1 - i$
$ Q\rangle$	Vector columna (<i>Ket</i>)
$\langle Q $	Vector dual (fila o <i>Bra</i>)
$\langle Q_1 Q_2\rangle$	Producto interno (escalar)
$ Q_1\rangle\langle Q_2 $	Matriz de densidad
$ Q_1\rangle \otimes Q_2\rangle$	Producto tensorial
$ Q_1\rangle Q_2\rangle$	Producto tensorial. Forma abreviada
A^*	Matriz conjugada de A
A^T	Matriz traspuesta de A
A^\dagger	Matriz traspuesta conjugada de A , es decir $A^\dagger = (A^T)^*$

Álgebra lineal

Ejemplo. El producto tensorial de dos vectores de dimensión 2 es un vector de dimensión 4

$$\begin{bmatrix} z_1 \\ z_2 \end{bmatrix} \otimes \begin{bmatrix} z'_1 \\ z'_2 \end{bmatrix} = \begin{bmatrix} z_1 \cdot z'_1 \\ z_1 \cdot z'_2 \\ z_2 \cdot z'_1 \\ z_2 \cdot z'_2 \end{bmatrix}$$

Álgebra lineal

- ✓ Un conjunto de vectores no nulos ($\{|v_1\rangle, \dots, |v_n\rangle\}$) son linealmente dependientes si existe un conjunto de números complejos a_1, \dots, a_n con $a_i \neq 0$ para al menos algún i , tales que

$$a_1|v_1\rangle + a_2|v_2\rangle + \dots + a_n|v_n\rangle = 0$$

- ✓ Un conjunto de vectores es linealmente independiente si no es linealmente dependiente
- ✓ Una base de un espacio vectorial es un conjunto de vectores linealmente independiente, y tal que cualquier vector puede expresarse como combinación lineal de ellos
- ✓ Un operador lineal entre dos espacios vectoriales V y W es una función A que es lineal respecto a sus entradas

$$A \sum_i |v_i\rangle = \sum_i A|v_i\rangle$$

Álgebra lineal

- ✓ Las matrices de Pauli son unas matrices de dimensión 2, operadores lineales, muy usadas en mecánica cuántica

$$I = \begin{bmatrix} 1 & 0 \\ 0 & 1 \end{bmatrix} \quad X = \begin{bmatrix} 0 & 1 \\ 1 & 0 \end{bmatrix}$$

$$Y = \begin{bmatrix} 0 & -i \\ i & 0 \end{bmatrix} \quad Z = \begin{bmatrix} 1 & 0 \\ 0 & -1 \end{bmatrix}$$

- ✓ Un autovector de un operador lineal A es un vector no nulo $|v\rangle$ tal que existe un número complejo z tal que

$$A|v\rangle = z|v\rangle$$

z es conocido como autovalor

Álgebra lineal

- ✓ Un espacio de Hilbert es un espacio vectorial dotado de una función de medida (módulo) y una noción de ortogonalidad.
- ✓ Ambas nociones se introducen mediante un producto escalar sobre un cuerpo. En este caso los números complejos
- ✓ Los elementos del espacio de Hilbert se suelen representar usando la notación de Dirac en forma de columna (*ket*)

$$|0\rangle = \begin{bmatrix} 1 \\ 0 \end{bmatrix}, \quad |1\rangle = \begin{bmatrix} 0 \\ 1 \end{bmatrix}$$

- ✓ o de fila (*bra*), en este caso, los conjugados.

$$\langle 0| = [1 \ 0], \quad \langle 1| = [0 \ 1]$$

$$\langle \psi| = [a^\dagger \ b^\dagger]$$

Álgebra lineal

- ✓ El producto $\langle \psi | \cdot | \psi \rangle = \langle \psi | \psi \rangle$ es un número complejo
- ✓ Operaciones en el espacio de Hilbert
 - ✗ Producto de matrices
 - ✗ Producto vectorial
 - ✗ Producto escalar
 - ✗ Matriz de densidad $|\psi\rangle\langle\psi|$

$$|0\rangle\langle 0| = \begin{bmatrix} 1 \\ 0 \end{bmatrix} \cdot [1 \ 0] = \begin{bmatrix} 1 & 0 \\ 0 & 0 \end{bmatrix}$$

Álgebra lineal

- ✓ Producto de Kronecker. Es un caso especial del producto tensorial de matrices
- ✓ Como el producto tensorial, se denota por \otimes , y se aplica a dos matrices A , B de tamaño arbitrario, respectivamente $m \times n$ y $p \times q$
- ✓ El resultado es una matriz $A \otimes B$ de tamaño $(m \cdot p) \times (n \cdot q)$

$$A = \begin{bmatrix} a_{11} & \cdots & a_{1n} \\ \vdots & \ddots & \vdots \\ a_{m1} & \cdots & a_{mn} \end{bmatrix} \quad B = \begin{bmatrix} b_{11} & \cdots & b_{1q} \\ \vdots & \ddots & \vdots \\ b_{p1} & \cdots & b_{pq} \end{bmatrix}$$

$$A \otimes B = \begin{bmatrix} a_{11}b_{11} & a_{11}b_{12} & \cdots & a_{11}b_{1q} & \cdots & \cdots & a_{1n}b_{11} & a_{1n}b_{12} & \cdots & a_{1n}b_{1q} \\ a_{11}b_{21} & a_{11}b_{22} & \cdots & a_{11}b_{2q} & \cdots & \cdots & a_{1n}b_{21} & a_{1n}b_{22} & \cdots & a_{1n}b_{2q} \\ \vdots & \vdots & \ddots & \vdots & \vdots & \vdots & \vdots & \vdots & \ddots & \vdots \\ a_{11}b_{p1} & a_{11}b_{p2} & \cdots & a_{11}b_{pq} & \cdots & \cdots & a_{1n}b_{p1} & a_{1n}b_{p2} & \cdots & a_{1n}b_{pq} \\ \vdots & \vdots & \vdots & \vdots & \ddots & \vdots & \vdots & \vdots & \vdots & \vdots \\ \vdots & \vdots & \vdots & \vdots & \vdots & \ddots & \vdots & \vdots & \vdots & \vdots \\ a_{m1}b_{11} & a_{m1}b_{12} & \cdots & a_{m1}b_{1q} & \cdots & \cdots & a_{mn}b_{11} & a_{mn}b_{12} & \cdots & a_{mn}b_{1q} \\ a_{m1}b_{21} & a_{m1}b_{22} & \cdots & a_{m1}b_{2q} & \cdots & \cdots & a_{mn}b_{21} & a_{mn}b_{22} & \cdots & a_{mn}b_{2q} \\ \vdots & \vdots & \ddots & \vdots & \vdots & \vdots & \vdots & \vdots & \ddots & \vdots \\ a_{m1}b_{p1} & a_{m1}b_{p2} & \cdots & a_{m1}b_{pq} & \cdots & \cdots & a_{mn}b_{p1} & a_{mn}b_{p2} & \cdots & a_{mn}b_{pq} \end{bmatrix}$$

Álgebra lineal

Ejemplo, producto de Kronecker

$$\begin{bmatrix} 1 & 2 \\ 3 & 1 \end{bmatrix} \otimes \begin{bmatrix} 0 & 3 \\ 2 & 1 \end{bmatrix} = \begin{bmatrix} 1 \cdot 0 & 1 \cdot 3 & 2 \cdot 0 & 2 \cdot 3 \\ 1 \cdot 2 & 1 \cdot 1 & 2 \cdot 2 & 2 \cdot 1 \\ 3 \cdot 0 & 3 \cdot 3 & 1 \cdot 0 & 1 \cdot 3 \\ 3 \cdot 2 & 3 \cdot 1 & 1 \cdot 2 & 1 \cdot 1 \end{bmatrix} = \begin{bmatrix} 0 & 3 & 0 & 6 \\ 2 & 1 & 4 & 2 \\ 0 & 9 & 0 & 3 \\ 6 & 3 & 2 & 1 \end{bmatrix}$$

1. Introducción
2. Miscelánea matemática
3. Información cuántica
4. Criptografía cuántica
5. Aspectos prácticos

Información cuántica

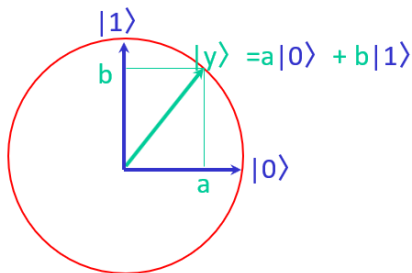
El estado de un qubit es un vector $|y\rangle = a|0\rangle + b|1\rangle$

✓ a, b son números complejos tales que

$$|a|^2 + |b|^2 = 1$$

✓ El vector $|y\rangle$ puede ser escrito como columnas (notación de Dirac)

$$|0\rangle = \begin{bmatrix} 0 \\ 1 \end{bmatrix} \quad |1\rangle = \begin{bmatrix} 1 \\ 0 \end{bmatrix} \quad |y\rangle = \begin{bmatrix} a \\ b \end{bmatrix}$$



Información cuántica

- ✓ Matriz de densidad

$$|a \ b\rangle\langle a \ b| = \begin{bmatrix} a^2 & ab \\ ba & b^2 \end{bmatrix}$$

- ✓ Superposición

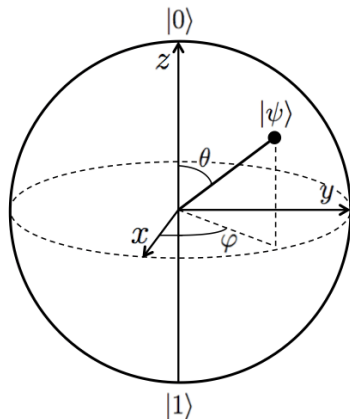
$$|a \ b\rangle = a|0\rangle + b|1\rangle$$

- ✓ $\{|0\rangle, |1\rangle\}$ forman una base del espacio de Hilbert
- ✓ En física cuántica, los vectores $|0\rangle$ y $|1\rangle$ se denominan **estados puros**. Las combinaciones lineales que forman el resto de elementos del espacio de Hilbert se denominan **estados mixtos**

Esfera de Bloch

El estado de un qubit se puede representar mediante la esfera de Bloch

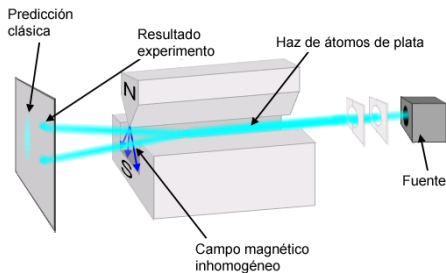
$$|\psi\rangle = \cos\left(\frac{\theta}{2}\right) |0\rangle + e^{i\varphi} \sin\left(\frac{\theta}{2}\right) |1\rangle$$



Esfera de Bloch

Experimento de Stern y Gerlach

- ✓ Realizado en Francfort, en 1922 por Otto Stern y Walther Gerlach
- ✓ Consiste en enviar un haz de átomos en un medio dotado de un campo magnético, con el polo norte en la parte superior y polo sur en la inferior



Esfera de Bloch

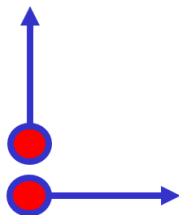
Experimento de Stern y Gerlach

- ✓ **Predicción clásica:** Cada átomo tiene un momento magnético aleatorio, que le produce un desvío en su trayectoria, hacia arriba o hacia abajo. Se debe observar un impacto en una línea continua vertical
- ✓ **Observación real:** Sólo existen dos puntos de impacto, uno situado en una posición superior, y otro situado en otra inferior
- ✓ Por primera vez aparece el efecto del spin. El momento magnético solo puede tomar dos valores $+1/2$ y $-1/2$

Información Cuántica

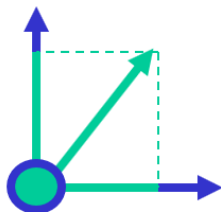
Un bit clásico en cada instante puede estar:

- ✓ En el estado 0
- ✓ En el estado 1
- ✓ $b \in \{0, 1\}$



Un bit cuántico en cada instante puede estar:

- ✓ En el estado base $|0\rangle$
- ✓ En el estado $|1\rangle$
- ✓ o en una superposición de estados de $|0\rangle$ y $|1\rangle$



Esfera de Bloch

- ✓ En principio se necesitan cuatro coordenadas reales para representar un qubit, dos por cada valor complejo
- ✓ Sin embargo, dado un qubit de estado $|\psi\rangle = a|0\rangle + b|1\rangle$ su comportamiento es idéntico al de cualquier otro qubit en la forma

$$e^{\lambda i}|\psi\rangle = e^{\lambda i}(a|0\rangle + b|1\rangle)$$

- ✓ Si escribimos a y b en forma polar, $|\psi\rangle = r_1^2 e^{\alpha_1 i} |0\rangle + r_2^2 e^{\alpha_2 i} |1\rangle$, con r_1 y r_2 números reales tales que $r_1^2 + r_2^2 = 1$. El estado de este qubit equivale al de

$$e^{-\alpha_1 i}|\psi\rangle = r_1|0\rangle + r_2 e^{(\alpha_2 - \alpha_1)i}|1\rangle$$

- ✓ Por ello, queda en la siguiente forma, dependiendo sólo de 3 valores reales

$$|\psi\rangle = r_1|0\rangle + r_2 e^{\theta i}|1\rangle$$

Esfera de Bloch

- ✓ $|\psi\rangle = r_1|0\rangle + r_2e^{i\theta}|1\rangle$
- ✓ El valor $e^{-i\alpha}$ que omitimos se denomina **fase global**
- ✓ Ejemplos

$$\begin{aligned}
 |0\rangle &= i \cdot |0\rangle \\
 |1\rangle &= i \cdot |1\rangle \\
 \frac{\sqrt{2}}{2}|0\rangle + i\frac{\sqrt{2}}{2}|1\rangle &= i\frac{\sqrt{2}}{2}|0\rangle - \frac{\sqrt{2}}{2}|1\rangle
 \end{aligned}$$

- ✓ La forma normal del qubit consiste en que el vector base $|0\rangle$ sólo tiene parte real, y no imaginaria (fase).

Esfera de Bloch

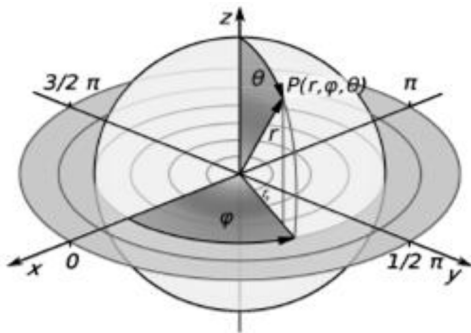
El estado de un qubit se puede representar mediante la esfera de Bloch

- ✓ El eje Z tiene como unidades el valor $|0\rangle$ en el polo norte y $|1\rangle$ en el sur
- ✓ El eje X tiene como unidades el valor $|+\rangle$ en el meridiano 0 con el ecuador y $|-\rangle$ en el punto contrario
- ✓ El eje Y tiene como unidades el valor $|i\rangle$ en el meridiano 90° con el ecuador y $|-i\rangle$ en el punto contrario
- ✓ Los vectores $\{|0\rangle, |1\rangle, |+\rangle, |-\rangle, |i\rangle, |-i\rangle\}$ son estados puros. Cada par de ellos forman una base en el espacio de Hilbert
- ✓ Las bases más usadas son $\{|0\rangle, |1\rangle\}$ conocida como **base computacional** y $\{|+\rangle, |-\rangle\}$, como **base Hadamard**
- ✓ Es contraintuitivo el que los elementos de una base puedan estar en la misma recta y no ser ortogonales. ¡Una más!

Esfera de Bloch

El estado de un qubit se puede representar mediante la esfera de Bloch

$$|\psi\rangle = \cos\left(\frac{\theta}{2}\right) |0\rangle + e^{i\varphi} \sin\left(\frac{\theta}{2}\right) |1\rangle$$

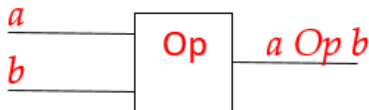


Transformación de estados

El estado de un bit se puede transformar mediante puertas lógicas clásicas.

- ✓ Las puertas lógicas clásicas son funciones booleanas arbitrarias
- ✓ Son no reversibles

$$Op : \{0, 1\} \longrightarrow \{0, 1\}$$



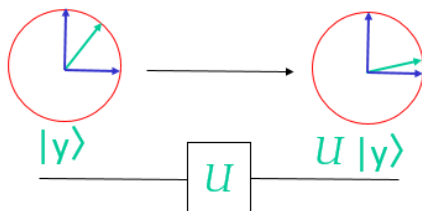
- ✓ En general:

$$Op : \{0, 1\}^n \longrightarrow \{0, 1\}^m$$

Transformación de estados

El estado de un qubit se puede transformar mediante puertas lógicas cuánticas.

- ✓ Las puertas lógicas cuánticas son funciones booleanas cuánticas, donde U es un operador lineal representado por una matriz cuadrada
- ✓ Siempre son reversibles, y existe inverso $U \cdot U^{-1} = I$



Puertas de 1 qubit

- ✓ Puerta de 1 qubit

$$|y\rangle = a|0\rangle + b|1\rangle \longrightarrow \boxed{U} \longrightarrow |y'\rangle = U|y\rangle$$

- ✓ Puerta NOT, o puerta X

$$Not = \begin{bmatrix} 0 & 1 \\ 1 & 0 \end{bmatrix}$$

$$|y\rangle \longrightarrow \boxed{Not} \longrightarrow |y'\rangle = a|1\rangle + b|0\rangle$$

- ✓ Puerta Hadamard

$$H = \frac{1}{\sqrt{2}} \begin{bmatrix} 1 & 1 \\ 1 & -1 \end{bmatrix}$$

$$|0\rangle \longrightarrow \boxed{H} \longrightarrow \frac{1}{\sqrt{2}} (|0\rangle + |1\rangle)$$

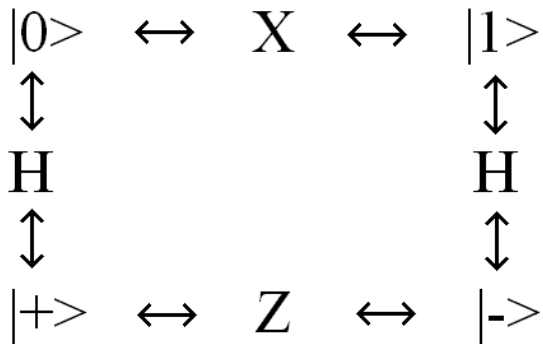
$$|1\rangle \longrightarrow \boxed{H} \longrightarrow \frac{1}{\sqrt{2}} (|0\rangle - |1\rangle)$$

Puertas de 1 qubit

- ✓ Puerta I (identidad). Devuelve como salida lo mismo que la entrada. Si tenemos el qubit $|y\rangle$ tenemos de salida el qubit $|y\rangle$
- ✓ Puerta X (bit flip). Equivalente a la puerta NOT. Si el qubit de entrada es $a|0\rangle + b|1\rangle$, el de salida será $b|0\rangle + a|1\rangle$. El nombre alternativo de esta puerta, bit flip, se debe a que “intercambia” (flip) los bits.
- ✓ Puerta Z (phase flip). Si el qubit de entrada es $|0\rangle$ no hace nada, pero si el que entra es un $|1\rangle$ le cambia el signo. En general, si entra un qubit $a|0\rangle + b|1\rangle$, se obtiene un qubit $a|0\rangle - b|1\rangle$.
- ✓ Puerta H (Hadamard). Convierte el qubit $|0\rangle$ en el qubit $|+\rangle$, y el qubit $|1\rangle$ en el qubit $|-\rangle$. Esta puerta es MUY importante. A primera vista lo que hace parece muy sencillo, pero tiene muchísimas aplicaciones en muchos circuitos; casi no hay ningún algoritmo cuántico que no la use. Produce la superposición de estados.

Puertas de 1 qubit

Transformaciones



Puertas de 1 qubit

- ✓ Puerta Y. No tiene nombre propio, pero complementa a las puertas I, X y Z en los ejes de la esfera de Bloch. Si de entrada tenemos $|0\rangle$ nos da como salida $i|1\rangle$, y con entrada $|1\rangle$ sale $-i|0\rangle$
- ✓ Puerta S (phase gate, no confundir con phase flip). Cambia $a|0\rangle + b|1\rangle$ por $a|0\rangle + bi|1\rangle$. Si se aplica dos veces seguidas la puerta S se obtiene una puerta Z
- ✓ Puerta T (puerta $\pi/4$). Cambia $a|0\rangle + b|1\rangle$ por $a|0\rangle + b\frac{1+i}{\sqrt{2}}|1\rangle$. Si se aplica dos veces se obtiene una puerta S
- ✓ Puerta R (phase shift). Cambia $a|0\rangle + b|1\rangle$ por $a|0\rangle + b\frac{\cos\theta + i\sin\theta}{\sqrt{2}}|1\rangle$, donde θ es un ángulo cualquiera que se le da externamente. Estrictamente no es una puerta, sino una colección de infinitas puertas. Puede simular tanto la puerta Z, como la S, como la T y es muy importante en la Transformada de Fourier Cuántica (QFT)
- ✓ Puerta oráculo, que describiremos normalmente como U. Es solo una notación para denotar a cualquier puerta arbitraria de un qubit

Puertas de 1 qubit

✓ Puertas de Pauli

$$X = \begin{bmatrix} 0 & 1 \\ 1 & 0 \end{bmatrix}, \quad Y = \begin{bmatrix} 0 & -i \\ i & 0 \end{bmatrix}, \quad Z = \begin{bmatrix} 1 & 0 \\ 0 & -1 \end{bmatrix}$$

✓ Hadamard

$$H = \frac{1}{\sqrt{2}} \begin{bmatrix} 1 & 1 \\ 1 & -1 \end{bmatrix}$$

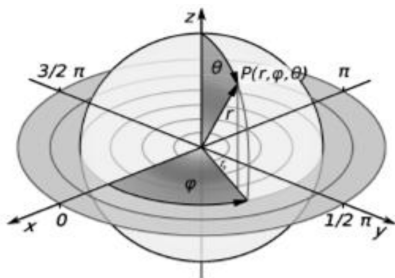
✓ Puerta R_θ

$$R_\theta = \begin{bmatrix} 1 & 0 \\ 0 & e^{i\theta} \end{bmatrix}$$

✓ Otras

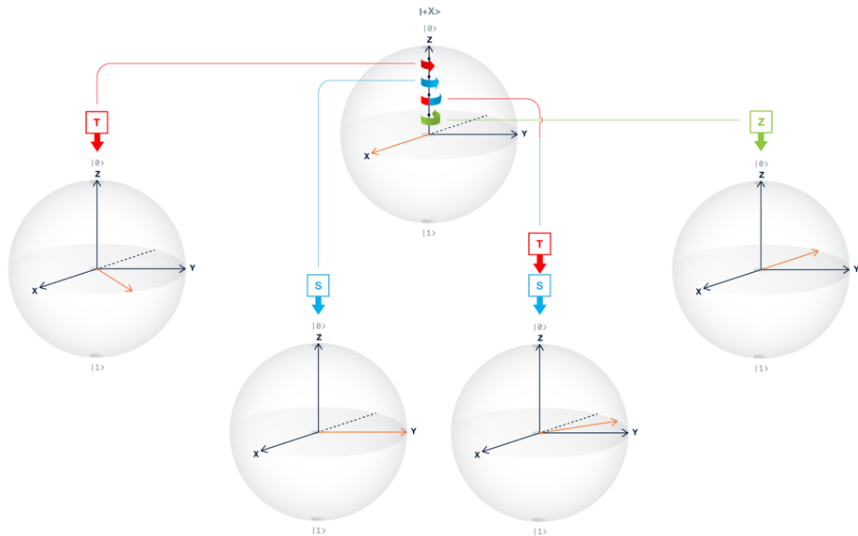
$$V = \sqrt{X} = \frac{1}{\sqrt{2}} \begin{bmatrix} 1+i & 1-i \\ 1-i & 1+i \end{bmatrix}, \quad S = \begin{bmatrix} 1 & 0 \\ 0 & i \end{bmatrix}, \quad T = \begin{bmatrix} 1 & 0 \\ 0 & e^{i\pi/4} \end{bmatrix}$$

Puertas de 1 qubit



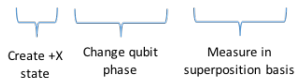
- ✓ Puertas de Pauli: Efectúan una rotación de 180° en cada uno de los 3 ejes, X, Y, Z
- ✓ Hadamard: Crea una superposición, el estado $|0\rangle$ se convierte en $|+\rangle = \frac{1}{\sqrt{2}}|0\rangle + \frac{1}{\sqrt{2}}|1\rangle$
- ✓ $Z(|+\rangle) = |-\rangle$; $S(|+\rangle) = |i\rangle$; $T(|+\rangle) = |e^{i\pi/4}\rangle$

Puertas de 1 qubit



Puertas de 1 qubit

Gate sequence	Rotation around Z	Probability of 0	Probability of 1
  	0	1.0	0
   	$\pi/4$	0.85	0.15
   	$\pi/2$	0.50	0.50
    	$3\pi/4$	0.15	0.85
   	π	0	1



Puertas de 1 qubit

- ✓ Ejemplos de rotaciones. Usamos el simulador Quirk
- ✓ Rotación en el eje X: Ver aquí
- ✓ Rotación en el eje Y: Ver aquí
- ✓ Rotación en el eje Z. Ecuador: Ver aquí
- ✓ Rotación en el eje Z. Polo Norte: Ver aquí
- ✓ Rotación en el eje Z. Polo Sur: Ver aquí

Puertas de 1 qubit

- ✓ Un autovector de un operador lineal A es un vector no nulo $|v\rangle$ tal que existe un número complejo z tal que

$$A|v\rangle = z|v\rangle$$

z es conocido como autovalor

- ✓ Los vectores $|0\rangle$ y $|1\rangle$ son autovectores para el operador Z

$$\begin{bmatrix} 1 & 0 \\ 0 & -1 \end{bmatrix} \cdot \begin{bmatrix} 1 \\ 0 \end{bmatrix} = \begin{bmatrix} 1 \\ 0 \end{bmatrix}$$

$$\begin{bmatrix} 1 & 0 \\ 0 & -1 \end{bmatrix} \cdot \begin{bmatrix} 0 \\ 1 \end{bmatrix} = - \begin{bmatrix} 0 \\ 1 \end{bmatrix}$$

Puertas de 1 qubit

- ✓ Los vectores $|+\rangle$ y $|-\rangle$ son autovectores para el operador X

$$\begin{bmatrix} 0 & 1 \\ 1 & 0 \end{bmatrix} \cdot \begin{bmatrix} \sqrt{2}/2 \\ \sqrt{2}/2 \end{bmatrix} = \begin{bmatrix} \sqrt{2}/2 \\ \sqrt{2}/2 \end{bmatrix}$$

$$\begin{bmatrix} 0 & 1 \\ 1 & 0 \end{bmatrix} \cdot \begin{bmatrix} \sqrt{2}/2 \\ -\sqrt{2}/2 \end{bmatrix} = - \begin{bmatrix} \sqrt{2}/2 \\ -\sqrt{2}/2 \end{bmatrix}$$

- ✓ Los vectores $|i\rangle$ y $| - i \rangle$ son autovectores para el operador Y
- ✓ Los operadores de Pauli no tienen ningún efecto sobre sus autovectores

Puertas de 1 qubit

- ✓ Ejemplos de autovectores.
- ✓ Autovector en el eje X: Ver aquí
- ✓ Autovector en el eje Y: Ver aquí
- ✓ Autovectores en ejes X e Y: Ver aquí
- ✓ Autovectores en ejes X, Y, Z: Ver aquí

Puertas de 1 qubit

- ✓ Con las puertas de Pauli, sobre un qubit inicializado a $|0\rangle$ sólo se pueden alcanzar los estados $|0\rangle$ y $|1\rangle$
- ✓ Si añadimos la puerta H, podemos ampliar el espectro de estados alcanzables con $|+\rangle$, $|-\rangle$, $|i\rangle$ y $| - i\rangle$
- ✓ Pero sigue siendo un número muy limitado
- ✓ Con las puertas \sqrt{X} , S y T ampliamos el espectro un poco más
- ✓ Pero sigue siendo un número limitado

Puertas de 1 qubit

Puerta general de rotación en el eje Z

- ✓ No es exactamente una puerta, sino una plantilla que describe un número infinito de puertas
- ✓ Puerta parametrizada R_φ , o $R_Z(\varphi)$ donde φ es un número real, en el intervalo $[0, 2\pi)$

$$R_\varphi = \begin{bmatrix} 1 & 0 \\ 0 & e^{i\varphi} \end{bmatrix}$$

- ✓ En particular

$$\begin{aligned} Z &= R_\pi \\ S &= R_{\pi/2} \\ T &= R_{\pi/4} \end{aligned}$$

Puertas de 1 qubit

Puerta general de rotación en el eje Y

- ✓ También es una puerta parametrizada, o una plantilla
- ✓ Puerta $R_Y(\theta)$, donde θ es un número real, en el intervalo $[0, 2\pi)$

$$R_Y(\theta) = \begin{bmatrix} \cos(\theta/2) & -\sin(\theta/2) \\ \sin(\theta/2) & \cos(\theta/2) \end{bmatrix}$$

- ✓ En particular

$$\begin{aligned} Y &= R_Y(\pi) \\ \sqrt{Y} &= R_Y(\pi/2) \\ \sqrt{Y}|0\rangle &= H|0\rangle \end{aligned}$$

Puertas de 1 qubit

Puerta general de rotación

- ✓ La puerta R_θ introduce una rotación generalizada en el eje Z
- ✓ Cualquier puerta actuando sobre un qubit se puede considerar como una rotación actuando sobre un determinado eje
- ✓ Toda rotación sobre un eje arbitrario se puede indicar mediante la posición del eje de giro, indicado por sus coordenadas respecto al eje Z con un ángulo φ , y respecto al eje Y con un ángulo θ . Por último, el ángulo de giro se indicará con λ
- ✓ Puerta general $U_3(\theta, \varphi, \lambda)$

$$U_3(\theta, \varphi, \lambda) = \begin{bmatrix} \cos(\theta/2) & -e^{i\lambda} \sin(\theta/2) \\ e^{i\varphi} \sin(\theta/2) & e^{i(\lambda+\varphi)} \cos(\theta/2) \end{bmatrix}$$

Puertas de 1 qubit

- ✓ Toda puerta actuando sobre un único qubit se puede expresar como una puerta generalizada $U_3(\theta, \varphi, \lambda)$
- ✓ En particular

$$Z = U_3(0, \pi, 0)$$

$$X = U_3(\pi, 0, \pi)$$

$$Y = U_3(\pi, \pi/2, \pi/2)$$

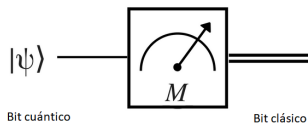
$$H = U_3(\pi/2, 0, \pi)$$

Medida de un qubit

- ✓ Un qubit no se puede leer. En su lugar debe realizarse una medida
- ✓ La medida física consiste en, valga la redundancia, la medición del nivel energético del elemento físico donde se almacena el qubit: Átomo, ión, electrón, fotón...
- ✓ Matemáticamente, consiste en proyectar el valor del vector de la esfera de Bloch en uno de los tres ejes: X, Y o Z
- ✓ La medida estándar, que consideraremos salvo indicación contraria, será sobre el eje Z, y nos dará un valor en la base computacional $\{|0\rangle, |1\rangle\}$
- ✓ Menos habitual es la medida en el eje X, que nos dará un valor en la base Hadamard $\{|+\rangle, |-\rangle\}$. Se suele usar en algoritmos de criptografía
- ✓ También es posible una medida en el eje Y, pero es extremadamente raro

Medida de un qubit

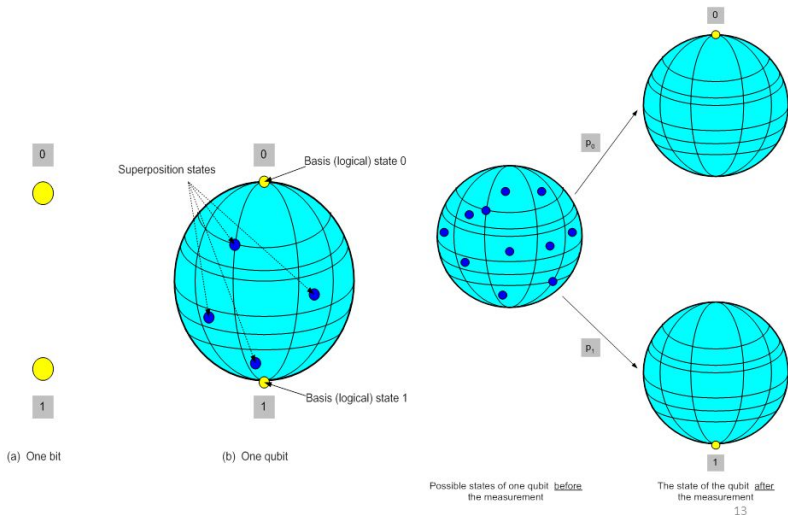
La medida de un qubit tiene el siguiente efecto:



- ✓ Si el estado del qubit es $|0\rangle$ proporciona el valor 0, y el qubit continúa en el estado $|0\rangle$
- ✓ Si el estado del qubit es $|1\rangle$ proporciona el valor 1, y el qubit continúa en el estado $|1\rangle$
- ✓ Si el estado del qubit es $|y\rangle = a|0\rangle + b|1\rangle$, entonces:
 - ✗ Con probabilidad $|a|^2$ toma el valor 0, y el estado del qubit pasa a ser $|0\rangle$
 - ✗ Con probabilidad $|b|^2$ toma el valor 1, y el estado del qubit pasa a ser $|1\rangle$

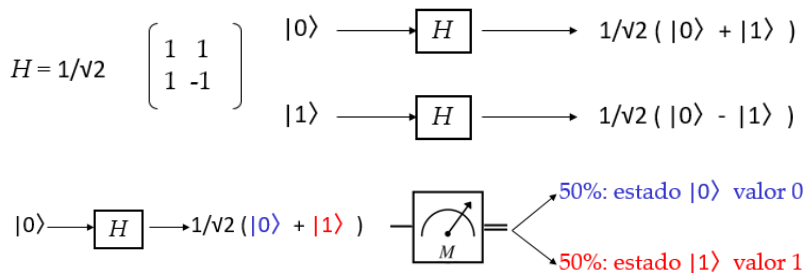
Medida de un qubit

Qubit measurement



Medida de un qubit

Ejemplo:



Medida de un qubit

Definición matemática

- ✓ La probabilidad de medir un estado $|x\rangle$ en un estado $|\varphi\rangle$ la definimos como el producto interno

$$p(|x\rangle) = |\langle x|\varphi\rangle|^2$$

- ✓ La medida que hemos usado anteriormente es medir en el resultado de medir en el eje Z , y en concreto, medir la probabilidad de que sea el vector $|0\rangle$ el resultado de la medida.
- ✓ $1 - p(|x\rangle)$ es la probabilidad de medir el estado $|1\rangle$

$$1 - p(|x\rangle) = |\langle x|1\rangle|^2$$

Medida de un qubit

- ✓ La medida es la proyección en un eje
- ✓ El eje está definido por un estado cuántico $|\varphi\rangle$
- ✓ El producto interno $\langle x|\varphi\rangle$ nos da un valor complejo que nos mide la amplitud de que el estado $|x\rangle$ colapse en los elementos de la base $|\varphi\rangle$ y su complementario
- ✓ El valor $|\langle x|\varphi\rangle|^2$ nos da la probabilidad de alcanzar el estado $|\varphi\rangle$

Composición de estados

- ✓ Dados 2 qubits $|Q_1\rangle$ y $|Q_2\rangle$, podemos formar un registro de 2 qubits con el producto de Kronecker

$$|Q_1 Q_2\rangle = |Q_1\rangle \otimes |Q_2\rangle$$

- ✓ Se puede generalizar a n qubits

$$|Q_1 Q_2 \dots Q_n\rangle = |Q_1\rangle \otimes |Q_2\rangle \otimes \dots \otimes |Q_n\rangle$$

- ✓ La base estándar para el espacio de Hilbert de un registro de 2 qubits es

$$|00\rangle = |0\rangle \otimes |0\rangle$$

$$|01\rangle = |0\rangle \otimes |1\rangle$$

$$|10\rangle = |1\rangle \otimes |0\rangle$$

$$|11\rangle = |1\rangle \otimes |1\rangle$$

- ✓ Para 3 qubits es $\{|000\rangle, |001\rangle, |010\rangle, |011\rangle, |100\rangle, |101\rangle, |110\rangle, |111\rangle\}$

Composición de estados

- ✓ Registro general de n qubits

$$|\psi\rangle = \sum_{0 \leq x < 2^n} \alpha_x |x\rangle, \quad \sum_{0 \leq x < 2^n} |\alpha_x|^2 = 1$$

- ✓ Requiere 2^n números complejos. P.e. para 3 qubits

$$|\psi\rangle = \alpha_{000}|000\rangle + \alpha_{001}|001\rangle + \alpha_{010}|010\rangle + \alpha_{011}|011\rangle + \alpha_{100}|100\rangle + \alpha_{101}|101\rangle + \alpha_{110}|110\rangle + \alpha_{111}|111\rangle$$

Con

$$|\alpha_{000}|^2 + |\alpha_{001}|^2 + |\alpha_{010}|^2 + |\alpha_{011}|^2 + |\alpha_{100}|^2 + |\alpha_{101}|^2 + |\alpha_{110}|^2 + |\alpha_{111}|^2 = 1$$

Puertas de 2 qubits

✓ Puerta de Hadamard de 2 qubits

$$\begin{array}{l}
 |0\rangle \longrightarrow \boxed{H} \longrightarrow 1/\sqrt{2} (|0\rangle + |1\rangle) \\
 |0\rangle \longrightarrow \boxed{H} \longrightarrow 1/\sqrt{2} (|0\rangle + |1\rangle)
 \end{array}
 \left. \vphantom{\begin{array}{l} |0\rangle \\ |0\rangle \end{array}} \right\} = 1/2 (|00\rangle + |01\rangle + |10\rangle + |11\rangle)$$

$$|00\rangle \longrightarrow \boxed{H_4} \longrightarrow 1/2 (|00\rangle + |01\rangle + |10\rangle + |11\rangle)$$

✓ Donde la puerta H_4 es la matriz 4×4

$$H_4 = H \otimes H = \frac{1}{2} \cdot \begin{pmatrix} 1 & 1 & 1 & 1 \\ 1 & -1 & 1 & -1 \\ 1 & 1 & -1 & -1 \\ 1 & -1 & -1 & 1 \end{pmatrix}$$

Composición de estados

- ✓ Ejemplos de composición de estados
- ✓ Registro de 2 qubits: [Ver aquí](#)
- ✓ Registro de 3 qubits: [Ver aquí](#)
- ✓ Registro de 4 qubits: [Ver aquí](#)
- ✓ Registro de 8 qubits: [Ver aquí](#)
- ✓ Registro de 10 qubits: [Ver aquí](#)
- ✓ Registro de 16 qubits: [Ver aquí](#)

Composición de estados

- ✓ Podemos definir también la matriz de densidad de un registro de qubits $|\psi\rangle\langle\psi|$

$$|\psi\rangle\langle\psi| = |\psi\rangle \otimes \langle\psi|$$

- ✓ En un registro de 2 qubits con $|\psi\rangle = a|00\rangle + b|01\rangle + c|10\rangle + d|11\rangle$

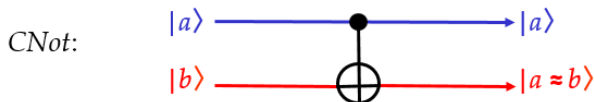
$$|\psi\rangle\langle\psi| = \begin{pmatrix} |a|^2 & ab^\dagger & ac^\dagger & ad^\dagger \\ ba^\dagger & |b|^2 & bc^\dagger & bd^\dagger \\ ca^\dagger & cb^\dagger & |c|^2 & cd^\dagger \\ da^\dagger & db^\dagger & dc^\dagger & |d|^2 \end{pmatrix}$$

Composición de estados

- ✓ Ejemplos. Matriz de densidad
- ✓ Registro de 2 qubits: [Ver aquí](#)
- ✓ Registro de 3 qubits: [Ver aquí](#)
- ✓ Registro de 4 qubits: [Ver aquí](#)
- ✓ Registro de 6 qubits: [Ver aquí](#)
- ✓ Registro de 8 qubits: [Ver aquí](#)

Puerta CNot

- ✓ Puerta Not Controlado, CNot
- ✓ Puerta del conjunto universal

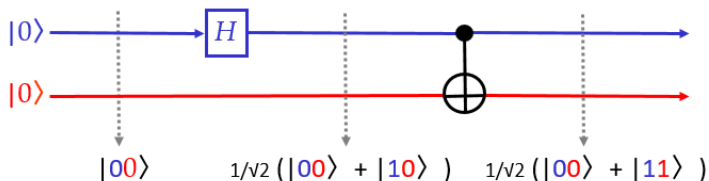


$$\begin{aligned}
 \text{CNot}(|00\rangle) &= |00\rangle \\
 \text{CNot}(|01\rangle) &= |01\rangle \\
 \text{CNot}(|10\rangle) &= |11\rangle \\
 \text{CNot}(|11\rangle) &= |10\rangle
 \end{aligned}
 \quad
 \text{CNot} =
 \begin{pmatrix}
 1 & 0 & 0 & 0 \\
 0 & 1 & 0 & 0 \\
 0 & 0 & 0 & 1 \\
 0 & 0 & 1 & 0
 \end{pmatrix}$$

$$a|00\rangle + b|01\rangle + c|10\rangle + d|11\rangle
 \left\{
 \begin{array}{c}
 \text{CNOT} \\
 \text{CNOT}
 \end{array}
 \right\}
 a|00\rangle + b|01\rangle + c|11\rangle + d|10\rangle$$

Puertas de 2 qubits

- ✓ Estados entrelazados, par EPR o par de Bell



- ✓ Tras la ejecución del operador, los dos qubits están entrelazados. Forman un estado EPR. Si uno de ellos es $|0\rangle$, el otro también, y viceversa con $|1\rangle$.

Estados entrelazados

- ✓ Un par entrelazado forma un estado inalcanzable por composición de estados de qubits
- ✓ Sea $|y\rangle = \frac{1}{\sqrt{2}} (|00\rangle + |11\rangle)$
- ✓ Supongamos dos qubits A y B tales que su composición es y

$$|A\rangle = a_1|0\rangle + b_1|1\rangle$$

$$|B\rangle = a_2|0\rangle + b_2|1\rangle$$

$$\text{Pero } |AB\rangle = a_1 a_2 |00\rangle + a_1 b_2 |01\rangle + b_1 a_2 |10\rangle + b_1 b_2 |11\rangle$$

- ✓ Sin embargo, el sistema

$$a_1 a_2 = \frac{1}{\sqrt{2}}$$

$$a_1 b_2 = 0$$

$$b_1 a_2 = 0$$

$$b_1 b_2 = \frac{1}{\sqrt{2}}$$

no tiene solución

Puertas de n qubits

- ✓ Dado un registro $|\psi\rangle$ de n qubits
- ✓ Se puede obtener una puerta de n entradas como composición de puertas de 1 qubit en la forma

$$U = U_1 \otimes U_2 \otimes \dots \otimes U_n$$

- ✓ O bien se puede obtener como composición de puertas de 1 qubit y puertas CNot de 2 qubits
- ✓ Ejemplo. 3 puertas de 1 qubit. Ver aquí
- ✓ Ejemplo. 3 puertas de 1 qubit, y un estado de Bell. Ver aquí

1. Introducción
2. Miscelánea matemática
3. Información cuántica
4. Criptografía cuántica
5. Aspectos prácticos

Criptografía cuántica

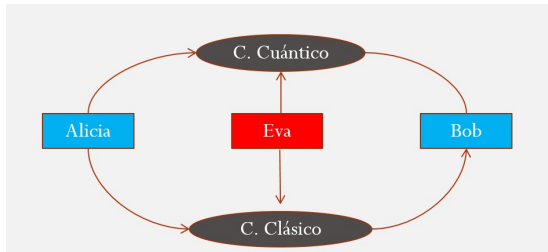
- ✓ La criptografía cuántica utiliza principios de la física cuántica para garantizar la confidencialidad en la transmisión de la información
- ✓ Una de las propiedades más importantes de la criptografía cuántica es que si se intenta espiar durante la transmisión, el proceso altera el resultado
- ✓ Esto es consecuencia del teorema de no clonado
- ✓ La seguridad de la criptografía cuántica descansa en las bases de la mecánica cuántica, a diferencia de la criptografía tradicional que descansa en supuestos de complejidad computacional

Criptografía cuántica

- ✓ Uno de los problemas de mayor dificultad para una comunicación segura mediante un sistema de clave privada es la distribución y almacenamiento de las claves
- ✓ Shannon, en 1949, establece que si la clave es aleatoria, de la misma longitud que el mensaje a cifrar y se usa una única vez, el cifrado es seguro
- ✓ Sin embargo, la necesidad de distribuir y almacenar de manera segura las claves, en general largas y de un solo uso, limita las posibilidades de este sistema

Criptografía cuántica

- ✓ Existen diferentes protocolos cuánticos de distribución de claves denominados QKD (Quantum Key Distribution), ideados con el fin de intercambiar claves privadas de un solo uso, que se pueden usar en sistemas simétricos de seguridad.
- ✓ De hecho, la llamada criptografía cuántica es la primera aplicación comercial de la mecánica cuántica.



Protocolo BB84

- ✓ Propuesto por Brassard y Bennet en 1984
- ✓ Se usan fotones polarizados enviados entre el emisor (Alice) y el receptor (Bob) mediante un canal cuántico, por ejemplo, una fibra óptica
- ✓ También se necesita la existencia de un canal público (no necesariamente cuántico) entre Alice y Bob, como por ejemplo Internet u ondas de radio, el cual se usa para mandar información requerida para la construcción la clave secreta compartida
- ✓ Ninguno de los canales necesita ser seguro, es decir, se asume que un intruso (de nombre Eve) puede intervenirlos con el fin de obtener información

Protocolo BB84

- ✓ Alice y Bob pretenden intercambiar una clave de forma segura, y disponen de los dos canales de comunicación indicados, clásico y cuántico
- ✓ Eva tiene acceso a las comunicaciones, que no son seguras
- ✓ Cada qubit puede ser implementado por un simple fotón, que puede ser transmitido por medio de un dispositivo óptico, incluso usando satélites
- ✓ Cada qubit (fotón) podrá estar en uno de cuatro estados posibles
- ✓ El protocolo ha sido llevado a la práctica

Protocolo BB84

- ✓ En primer lugar, Alice debe preparar un sistema de n qubits. No es necesario que estén entrelazados, por lo que n puede ser arbitrariamente grande
- ✓ La idea fundamental es que Alice preparará los qubits por medio de un doble sistema
- ✓ En primer lugar, codificará los qubits mediante los estados cuánticos $|0\rangle$ y $|1\rangle$. Pero además, estos estados podrán estar codificados en base computacional o Hadamard, siendo en este caso los estados posibles $|+\rangle$ para el bit 0, y $|-\rangle$ para el bit 1

Protocolo BB84

- ✓ Los estados posibles pueden ser $\{|0\rangle, |1\rangle, |+\rangle, |-\rangle\}$
- ✓ Pueden ser medidos con base computacional (B_C) o Hadamard (B_H)

Estado	Medido con B_C	Medido con B_H
$ 0\rangle$	$ 0\rangle$ con $p = 1$	$ +\rangle$ con $p = 1/2$ $ -\rangle$ con $p = 1/2$
$ 1\rangle$	$ 1\rangle$ con $p = 1$	$ +\rangle$ con $p = 1/2$ $ -\rangle$ con $p = 1/2$
$ +\rangle$	$ 0\rangle$ con $p = 1/2$ $ 1\rangle$ con $p = 1/2$	$ +\rangle$ con $p = 1$
$ -\rangle$	$ 0\rangle$ con $p = 1/2$ $ 1\rangle$ con $p = 1/2$	$ -\rangle$ con $p = 1$

Protocolo BB84

- ✓ El protocolo BB84, propuesto en 1984 por Bennet y Brassard sigue los siguientes pasos
- ✓ **Paso 1.** Alice genera una cadena aleatoria de ceros y unos
- ✓ **Paso 2.** Para cada qubit, Alice elige aleatoriamente una base B_C o B_H y envía a Bob el qubit codificado, en uno de los 4 estados posibles
- ✓ **Paso 3.** Bob recibe la cadena de qubits, y realiza una medida de cada uno de ellos, eligiendo en cada caso una base al azar
- ✓ **Paso 4.** Reconciliación de claves. Bob comunica, por un canal clásico, la cadena de bits que ha usado para la medida, y Alice responde por el mismo canal cuales son coincidentes
- ✓ **Paso 5.** Clave bruta. Para aquellos qubits de base coincidente, Bob y Alice disponen de una clave compartida

Protocolo BB84

Ejemplo

Mensaje	0	0	1	0	1	1	0	0	0	1
Base Alice	B_c	B_H	B_c	B_H	B_c	B_H	B_c	B_c	B_H	B_H
Codificación	$ 0\rangle$	$ +\rangle$	$ 1\rangle$	$ +\rangle$	$ 1\rangle$	$ -\rangle$	$ 0\rangle$	$ 0\rangle$	$ +\rangle$	$ -\rangle$
Base Bob	B_c	B_c	B_H	B_H	B_H	B_c	B_c	B_c	B_H	B_H
Medida Bob	$ 0\rangle$	$ 0\rangle$	$ +\rangle$	$ +\rangle$	$ -\rangle$	$ 0\rangle$	$ 0\rangle$	$ 0\rangle$	$ +\rangle$	$ -\rangle$
Reconciliación	0			0			0	0	0	1

La clave 000001 es secreta

Protocolo BB84

Seguridad

- ✓ Eva puede interceptar los qubits y medirlos
- ✓ Eso implica que el qubit puede cambiar su estado, si no se mide en la misma base en que se codificó por Alice
- ✓ La probabilidad de que la base elegida no sea la correcta es $1/2$, y la probabilidad de que de el valor equivado es $1/2$. Por tanto, con probabilidad $1/4$ el qubit cambiará de valor
- ✓ Alice y Bob pueden compartir un fragmento de la clave. Por ejemplo, los 10 primeros
- ✓ En ausencia de ruido, la probabilidad de que todos los bits coincidan si la clave ha sido atacada es $(3/4)^{10}$, es decir un 5%
- ✓ Con un número suficiente de bits de intercambio para contraste, se puede garantizar que la transmisión no ha sido interceptada

Protocolo B92

- ✓ Propuesto por Bennet en 1992
- ✓ Es muy parecido a BB84, más simplificado
- ✓ Se usan fotones polarizados enviados entre el emisor (Alice) y el receptor (Bob) mediante un canal cuántico, por ejemplo, una fibra óptica
- ✓ También se necesita la existencia de un canal público (no necesariamente cuántico) entre Alice y Bob, como por ejemplo Internet u ondas de radio, el cual se usa para mandar información requerida para la construcción la clave secreta compartida
- ✓ Ninguno de los canales necesita ser seguro, es decir, se asume que un intruso (de nombre Eve) puede intervenirlos con el fin de obtener información

Protocolo B92

- ✓ En primer lugar, Alice debe preparar un sistema de n qubits. No es necesario que estén entrelazados, por lo que n puede ser arbitrariamente grande
- ✓ En este caso, Alice preparará los qubits por medio de un sistema simple
- ✓ Para ello, genera una secuencia de bits a , cada uno de ellos puede estar en 0 o en 1
- ✓ Después, codificará los qubits mediante los estados cuánticos $|0\rangle$ y $|+\rangle$. En el primer caso, si el bit a está a 0, y en el segundo si está a 1
- ✓ Los qubits se envían por el canal cuántico

Protocolo B92

- ✓ Por su parte, Bob genera una secuencia de bits b , cada uno de ellos puede estar en 0 o en 1
- ✓ Cuando recibe los qubits por el canal cuántico, realiza una medida de cada uno de ellos. Si el bit b está a 0 la medida se hace en base computacional C , si está a 1 se hace en base Hadamard H
- ✓ Bob publica los resultados de las medidas por el canal clásico, pero sólo para los qubits con medida 1

Protocolo B92

- ✓ Esto es por lo siguiente
- ✓ Alice ha codificado siempre un 0, bien en base Computacional si el bit a es 0 o Hadamard, si es 1
- ✓ Al medir Bob, si la base es coincidente siempre medirá 0
- ✓ Si la base no es coincidente, con probabilidad $1/2$ medirá 0 o 1

Estado	Medido con B_C	Medido con B_H
$ 0\rangle$	0 con $p = 1$	0 con $p = 1/2$ 1 con $p = 1/2$
$ +\rangle$	0 con $p = 1/2$ 1 con $p = 1/2$	0 con $p = 1$

Protocolo B92

- ✓ Por tanto, si la medida es 0, Bob no puede saber en qué base fue codificado el qubit
- ✓ Puede ser porque Alice codificó 0 en la misma base, o porque lo codificó en base contraria, y la medida ha salido con $1/2$ de probabilidad
- ✓ PERO si la medida es 1, forzosamente Alice lo condificó con base contraria, y se ha medido 1 con probabilidad $1/2$
- ✓ Bob conoce su base, por lo que conoce también la de Alice, que es la contraria

Protocolo B92

Ejemplo

Mensaje	0	0	1	0	1	1	1	0	0	1
Codificación	$ 0\rangle$	$ 0\rangle$	$ +\rangle$	$ 0\rangle$	$ +\rangle$	$ +\rangle$	$ +\rangle$	$ 0\rangle$	$ 0\rangle$	$ +\rangle$
Cadena de Bob	0	1	1	1	1	0	0	0	1	1
Base Bob	B_C	B_H	B_H	B_H	B_H	B_C	B_C	B_C	B_H	B_H
Medida Bob	0	?	0	?	0	?	?	0	?	0

Protocolo B92

Ejemplo

Mensaje	0	0	1	0	1	1	1	0	0	1
Codificación	$ 0\rangle$	$ 0\rangle$	$ +\rangle$	$ 0\rangle$	$ +\rangle$	$ +\rangle$	$ +\rangle$	$ 0\rangle$	$ 0\rangle$	$ +\rangle$
Cadena de Bob	0	1	1	1	1	0	0	0	1	1
Base Bob	B_C	B_H	B_H	B_H	B_H	B_C	B_C	B_C	B_H	B_H
Medida Bob	0	1	0	0	0	1	0	0	1	0
Reconciliación		0				1			0	

La clave 010 es secreta

Protocolo B92

Seguridad

- ✓ Es similar a la de BB84
- ✓ Una medida interceptada por Eva alterará el resultado
- ✓ Puede ser detectada compartiendo un fragmento de la clave común compartida

Criptografía cuántica

Comparación

- ✓ El rendimiento de BB84 es superior a B92. En el primero, la clave bruta es aproximadamente del 50 % de los bits, en el segundo es del 25 %
- ✓ La codificación de BB84 precisa 4 posibles estados cuánticos para los qubits, la de B92 solo necesita de 2
- ✓ Los errores también deben ser tenidos en cuenta, no sólo la posibilidad de interceptación, porque los estados cuánticos pueden decaer (decoherencia)
- ✓ El uso de menos estados cuánticos, hace que la posibilidad de errores de B92 sea menor

Criptografía cuántica

- ✓ En 2010 se publicó la transmisión de clave común cuántica en 300 km de distancia
- ✓ Se utilizó un protocolo de estados entrelazados, en lugar de BB84 o B91

New Journal of Physics

The open access journal at the forefront of physics

Deutsche Physikalische Gesellschaft  DPG **IOP** Institute of Physics

OPEN ACCESS

Feasibility of 300 km quantum key distribution with entangled states

To cite this article: Thomas Scheidl *et al* 2009 *New J. Phys.* **11** 085002

View the [article online](#) for updates and enhancements.

You may also like

- [Satellite-based links for quantum key distribution: beam effects and weather dependence](#)
Carlo Liorni, Hermann Kampermann and Dagmar Bruß
- [Non-material contributions of wildlife to human well-being: a systematic review](#)
Joel Methorst, Ugo Arbieu, Aletta Bonn et al.
- [Practical issues of twin-field quantum key distribution](#)
Feng-Yu Lu, Zhen-Qiang Yin, Rong Wang et al.

Casos de éxito

Entre los algoritmos cuánticos que hasta ahora han tenido mayor repercusión encontramos:

- ✓ Algoritmo de Deutsch. Dada una función de la que sabemos que es constante o balanceada, decidir cual de las dos es. El algoritmo determinista tiene un coste exponencial en el tamaño en bits del input. El algoritmo cuántico lo hace en tiempo constante.
- ✓ Algoritmo de Grover. Dada una lista no ordenada de valores enteros, y otro determinado dato, decidir si dicho dato está o no en la lista. El algoritmo determinista tiene un coste $\mathcal{O}(n)$, busca todos los elementos si no está. El algoritmo cuántico lo hace en tiempo $\mathcal{O}(\sqrt{n})$.
- ✓ Algoritmo de Shor. Descompone un número n en sus factores primos. El algoritmo determinista, basado en la criba de Eratóstenes tiene un tiempo $\mathcal{O}(\sqrt{n})$. El algoritmo cuántico lo hace en $\mathcal{O}(\log^3 N)$. Este último resultado es de importancia fundamental en seguridad informática y criptografía.

1. Introducción
2. Miscelánea matemática
3. Información cuántica
4. Criptografía cuántica
5. Aspectos prácticos

Simulador Quirk

Simulador gráfico de uso muy sencillo

- ✓ On line desde el navegador de internet
- ✓ Se trata de IBM Quantum Experience
- ✓ Totalmente gráfico
- ✓ Hasta 16 qubits. Si bien por encima de 10 se vuelve engorroso
- ✓ Se observa completamente el funcionamiento

Simulador Quirk

Enlace: El enlace directo es <https://algassert.com/quirk>

Simulador Quirk

Evaluación de funciones booleanas

- ✓ Supongamos una fórmula de 4 variables booleanas $\{x_0, x_1, x_2, x_3\}$
- ✓ La fórmula está en forma normal conjuntiva, es decir una conjunción de varias disyunciones (negadas o no)
- ✓ Ejemplo

$$f(x_0, x_1, x_2, x_3) = (x_0 \vee x_1 \vee \neg x_3) \wedge (\neg x_0 \vee x_2 \vee x_3) \wedge (x_2 \vee x_3) \wedge (x_0 \vee \neg x_1 \vee x_3)$$

Simulador Quirk

Evaluación de funciones booleanas

$$f(x_0, x_1, x_2, x_3) = (x_0 \vee x_1 \vee \neg x_3) \wedge (\neg x_0 \vee x_2 \vee x_3) \wedge (x_2 \vee x_3) \wedge (x_0 \vee \neg x_1 \vee x_3)$$

Evaluación con la tabla de la verdad

N	x0	x1	x2	x3	c1	c2	c3	c4	fórmula
1	0	0	0	0	1	1	0	1	0
2	1	0	0	0	1	0	0	1	0
3	0	1	0	0	1	1	0	0	0
4	1	1	0	0	1	0	0	1	0
5	0	0	1	0	1	1	1	1	1
6	1	0	1	0	1	1	1	1	1
7	0	1	1	0	1	1	1	0	0
8	1	1	1	0	1	1	1	1	1
9	0	0	0	1	0	1	1	1	0
10	1	0	0	1	1	1	1	1	1
11	0	1	0	1	1	1	1	1	1
12	1	1	0	1	1	1	1	1	1
13	0	0	1	1	0	1	1	1	0
14	1	0	1	1	1	1	1	1	1
15	0	1	1	1	1	1	1	1	1
16	1	1	1	1	1	1	1	1	1

Simulador Quirk

$$(x_0 \vee x_1 \vee \neg x_3) \wedge (\neg x_0 \vee x_2 \vee x_3) \wedge (x_2 \vee x_3) \wedge (x_0 \vee \neg x_1 \vee x_3)$$

- ✓ Cada variable se codifica con un qubit, inicializada con una puerta Hadamard
- ✓ Cada cláusula se codifica con un qubit, inicializado a $|0\rangle$
- ✓ La fórmula global se codifica con un qubit, inicializado a $|0\rangle$

Enlace: [Click aquí](#)

Simulador Quirk

Cláusula: $(x_0 \vee x_1 \vee \neg x_3)$

- ✓ Cada variable se codifica con un control o anticontrol, dependiendo de si está negada o no
- ✓ Los controles actúan sobre el qubit de la cláusula, que está negado previamente

Enlace: [Click aquí](#)

Simulador Quirk

$$(x_0 \vee x_1 \vee \neg x_3) \wedge (\neg x_0 \vee x_2 \vee x_3) \wedge (x_2 \vee x_3) \wedge (x_0 \vee \neg x_1 \vee x_3)$$

- ✓ Se codifican todas las cláusulas
- ✓ La fórmula global se codifica con un qubit, inicializado a $|0\rangle$

Enlace: Click aquí

Simulador Quirk

$$(x_0 \vee x_1 \vee \neg x_3) \wedge (\neg x_0 \vee x_2 \vee x_3) \wedge (x_2 \vee x_3) \wedge (x_0 \vee \neg x_1 \vee x_3)$$

- ✓ La fórmula global es la conjunción de todas las cláusulas

Enlace: Click aquí

Simulador Quirk

$$(x_0 \vee x_1 \vee \neg x_3) \wedge (\neg x_0 \vee x_2 \vee x_3) \wedge (x_2 \vee x_3) \wedge (x_0 \vee \neg x_1 \vee x_3)$$

- ✓ La fórmula global es la conjunción de todas las cláusulas
- ✓ **Importante.** Tras la codificación es necesario **descomputar** las cláusulas. Por razones técnicas

Enlace: Click aquí

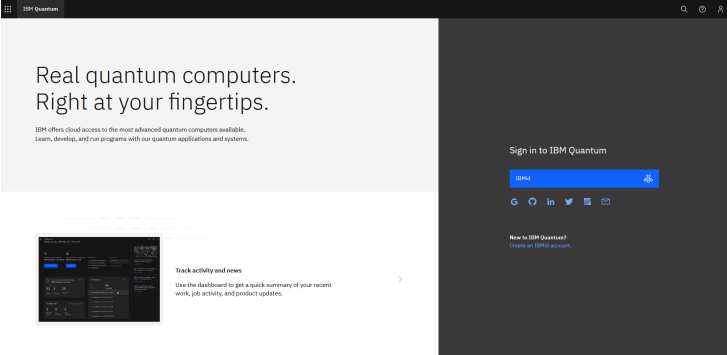
IBM Quantum Experience

Primer programa cuántico

- ✓ Usaremos un computador real accesible por Internet
- ✓ Se trata de IBM Quantum Experience
- ✓ Primer computador cuántico comercial, presentado en 2019
- ✓ En la actualidad dispone de varios computadores accesibles. Los de 5 qubits son gratuitos
- ✓ Cuales están disponibles dependen del momento de acceso

IBM Quantum Experience

- ✓ Accedemos por medio de Google, buscando IBM Quantum
- ✓ El enlace directo es <https://quantum-computing.ibm.com/>



The screenshot displays the IBM Quantum Experience website. The main heading reads "Real quantum computers. Right at your fingertips." Below this, it states: "IBM offers cloud access to the most advanced quantum computers available. Learn, develop, and run programs with our quantum applications and systems."

On the right side, there is a sign-in section titled "Sign in to IBM Quantum" with an "IBMid" input field and a "Sign in" button. Below the sign-in field are social media icons for Google, GitHub, LinkedIn, Twitter, Facebook, and Email. A link for "New to IBM Quantum? Create an IBMid account." is also present.

At the bottom left, there is a section titled "Track activity and news" with a sub-heading "Use the dashboard to get a quick summary of your recent work, job activity, and product updates." This section includes a small thumbnail image of a dashboard and a right-pointing arrow.

IBM Quantum Experience

- ✓ Accedemos por medio de Google, buscando IBM Quantum
- ✓ El enlace directo es <https://quantum-computing.ibm.com/>

The screenshot shows the IBM Quantum Experience dashboard. At the top, it says "Welcome, Fernando Cuartero". Below this, there are four main sections:

- Graphically build circuits with IBM Quantum Composer:** Includes a "Launch Composer" button.
- Develop quantum experiments in IBM Quantum Lab:** Includes a "Launch Lab" button.
- Jump back in:** Lists recent sessions: "Untitled circuit", "Untitled circuit", "Experiment #20170419185958", and "Experiment #20170420096013".
- API tokens:** Shows a masked token "*****" with refresh and copy icons, and a "View account details" link.

At the bottom, there are two summary cards:

- Optimize circuit execution with Qiskit Runtime programs:** Shows "12 Runtime programs" and a "View all" link.
- Recent Jobs:** Shows "0 Pending" and "6 Completed" jobs, with a "View all" link and the text "No pending jobs".

Decorative blue curved lines are visible on the right side of the dashboard.

IBM Quantum Experience

- ✓ Accedemos por medio de Google, buscando IBM Quantum
- ✓ El enlace directo es <https://quantum-computing.ibm.com/>

The screenshot displays the IBM Quantum Composer interface. On the left, a sidebar shows a list of files under 'Composer files', including several 'Untitled circuit' files and 'Experiment' files. The main workspace is titled 'Untitled circuit' and contains a quantum circuit diagram with two qubits, q and c1. Qubit q has an H gate, and qubit c1 has an H gate and a measurement gate. A statevector plot below the circuit shows a single bar at amplitude 1.0 for state 0. The right panel shows the OpenQASM 2.0 code:

```

1 OPENQASM 2.0;
2 include "qelib1.inc";
3
4 qreg q[1];
5 creg c[1];
6
7 h q[0];
8 measure q[0] -> c[0];
  
```

IBM Quantum Experience

✓ Texto del programa nuevo

```
OPENQASM 2.0;  
include "qelib1.inc";  
qreg q[3];  
creg c[3];
```

✓ Texto que debe aparecer

```
OPENQASM 2.0;  
include "qelib1.inc";  
qreg q[1];  
creg c[1];  
h q[0];  
measure q[0] - > c[0];
```

IBM Quantum Experience

- ✓ Accedemos por medio de Google, buscando IBM Quantum
- ✓ El enlace directo es <https://quantum-computing.ibm.com/>

The screenshot displays the IBM Quantum Experience web interface. At the top, there are navigation menus (File, Edit, Inspect, View, Share) and buttons for 'Try the new Composer beta' and 'Setup and run'. The main area is titled 'Untitled circuit' and shows a quantum circuit with two qubits, q[0] and c[1]. The circuit includes an H gate on q[0], followed by a CNOT gate with q[0] as the control and c[1] as the target. The statevector visualization at the bottom shows a single bar at 1.0 for computational state 0, indicating the system is in the $|00\rangle$ state.

OpenQASM 2.0 code:

```

1 OPENQASM 2.0;
2 include "qelib1.inc";
3
4 qreg q[1];
5 creg c[1];
6
7 h q[0];
8 measure q[0] -> c[0];

```

IBM Quantum Experience

- ✓ Accedemos por medio de Google, buscando IBM Quantum
- ✓ El enlace directo es <https://quantum-computing.ibm.com/>

Set up and run your circuit

Step 1

Choose a system or simulator

Search by system or simulator name

ibmq_manila

[See details](#)

System status ● Online

Total pending jobs 0

5 Qubits 32 qv 2.8K CLOPS

ibmq_bogota

[See details](#)

System status ● Online

Total pending jobs 66

5 Qubits 32 qv 2.3K CLOPS

ibmq_santiago

[See details](#)

System status ● Online

Total pending jobs 32

5 Qubits 32 qv

ibmq_quito

[See details](#)

System status ● Online

Total pending jobs 5

5 Qubits 16 qv 2.5K CLOPS

Step 2

Choose your settings

Provider

ibmq-q/open/main

Shots *

1024

Job limit: 5 remaining

Optional

Name your job

Job name

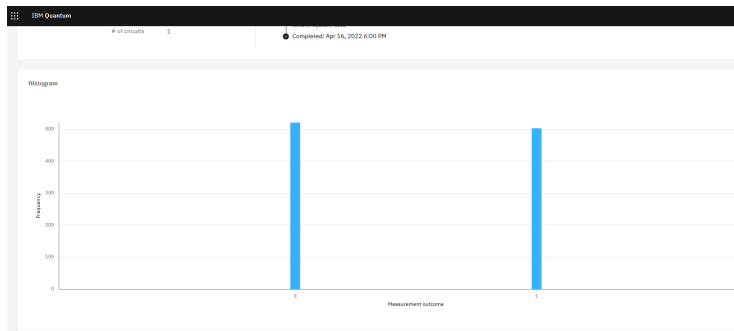
e.g. Untitled circuit job

Tags

Add tags

IBM Quantum Experience

- ✓ Accedemos por medio de Google, buscando IBM Quantum
- ✓ El enlace directo es <https://quantum-computing.ibm.com/>



IBM Quantum Experience

- ✓ Accedemos por medio de Google, buscando IBM Quantum
- ✓ El enlace directo es <https://quantum-computing.ibm.com/>

File Edit Inspect View Share

Untitled circuit *Saved*

The screenshot displays the IBM Quantum Experience interface. At the top, there is a menu bar with 'File', 'Edit', 'Inspect', 'View', and 'Share'. Below the menu, the title 'Untitled circuit' is followed by 'Saved'. A toolbar contains various quantum gates: H (red), CNOT (blue), Toffoli (blue), X (blue), Y (blue), Z (blue), I (blue), T (blue), S (blue), Z (blue), T† (blue), S† (blue), P (blue), RZ (blue), |0⟩ (black), |1⟩ (black), if (grey), √X (purple), √X† (purple), Y (purple), RX (purple), RY (purple), U (purple), RXX (purple), RZZ (purple), and a '+ Add' button. The main area shows a quantum circuit with three qubits (q[0], q[1], and q[2]) and two classical bits (c[0] and c[1]). Qubit q[0] has an H gate. A CNOT gate has its control on q[0] and target on q[1]. Both qubits q[0] and q[1] have Z gates. The circuit ends with two measurement gates on q[0] and q[1], with classical bits c[0] and c[1] respectively. On the right, the 'OpenQASM 2.0' dropdown is set to 'OpenQASM 2.0'. Below it, the 'Open in Quantum Lab' button is visible. The code editor shows the following OpenQASM 2.0 code:

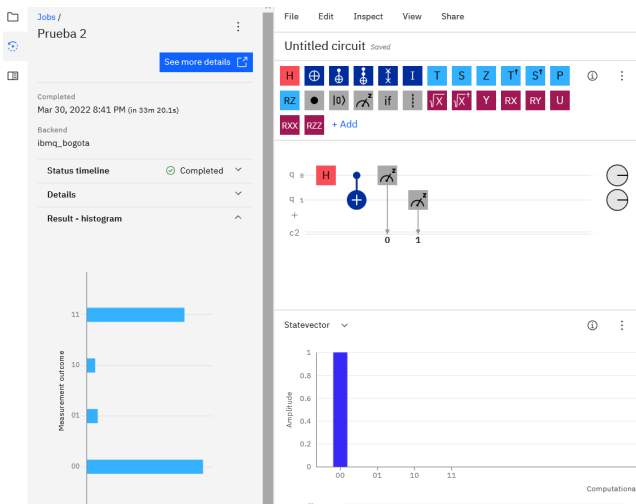
```

1 OPENQASM 2.0;
2 include "qelib1.inc";
3
4 qreg q[2];
5 creg c[2];
6
7 h q[0];
8 cx q[0],q[1];
9 measure q[0] -> c[0];
10 measure q[1] -> c[1];

```

IBM Quantum Experience

- ✓ Accedemos por medio de Google, buscando IBM Quantum
- ✓ El enlace directo es <https://quantum-computing.ibm.com/>





Curso de Formación Continua en Computación Cuántica
Curso online organizado por la Escuela Superior de Ingeniería Informática
de Albacete
Universidad de Castilla-La Mancha

FIN